

用有效质量法研究晶振特性

俞 熹, 许文仪

(复旦大学物理系, 上海 200433)

摘 要:扫描显微镜技术中作为力感应器件的石英晶振, 其本征频率会由于黏合的针尖与环境的气体和压强不同而发生改变. 介绍了通过有效质量、有效杨氏模量来研究各项条件改变对频移的影响的方法, 并建立了统一的模型来解释实验结果, 便于理解石英晶振的力感应特性.

关键词:石英晶振; 扫描显微镜; 原子力显微镜; 有效质量; 有效杨氏模量

中图分类号: TH742 **文献标识码:** A **文章编号:** 1005-4642(2008)08-0034-04

1 引 言

石英晶振(石英电子表的起振器件)在近些年, 作为力感应器件已被广泛应用于扫描显微镜(SPM)技术中^[1]. 其力学特性中极其高的品质因数(Q)特别适合于针对生物样品或者软物质^[2]和原子分辨率^[3]的非接触模式^[4] AFM^[5] 图像扫描. 其不必借助激光而自感应的力学特性则是低温和超低温下工作的理想器件^[6].

石英晶振是基于晶体的压电效应而工作的. 在晶片上加交变电压, 由于电致伸缩, 晶片将随交变信号的变化而产生机械振动, 通过改变电压频率可以使机械振动达到共振极大. 在 AFM 中, 由于原子力对针尖和晶振的作用, 晶体共振频率会发生变化, 通过频移的大小可以敏感地探测到样品表面的起伏.

2 有效质量

图 1 是在 AFM 中实际所使用的石英晶振, 其中一端已经安装了 1 根钨丝制作的 AFM 扫描探针.

使用的晶振可以看作由 2 个简单的对称的长方体石英构成, 在大气环境中一般工作于 2^{15} Hz, 品质因数 $Q=10\ 000$.

晶振的物理尺寸为: 长 $l=3.2\text{ mm}$, 宽 $w=320\ \mu\text{m}$, 厚 $t=380\ \mu\text{m}$, 可以利用石英的杨氏模量

使用黏合剂附着于晶振上的 AFM 探针

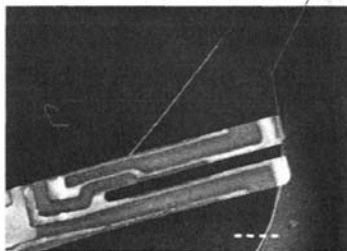


图 1 制备的石英晶振的扫描电子显微镜照片

($E=7.87\times 10^{10}\text{ N/m}^2$) 测算大致的弹性常数 $k=0.25Ew(t/l)^3=10.5\text{ kN/m}$. 代入晶振的密度 $\rho=2\ 650\text{ kg/m}^3$, 理论本征频率为^[7-8]

$$f_{0\pm} = \frac{1.875}{2\pi\sqrt{3}} \sqrt{\frac{k}{m}} = \frac{1.014\ 98t}{2\pi l^2} \sqrt{\frac{E}{\rho}} = 32\ 668\text{ Hz.} \quad (1)$$

可以看到理论计算结果与晶振的设定频率 32 768 Hz 很接近(误差 0.3%). 该误差的来源应该是计算过程中将晶振的形状作为完美的长方体及没有考虑晶振边缘的金属电极造成的影响.

在 AFM 中, 一般需要将针尖加装在晶振上, 这样就会改变晶振的本征频率, 这一变化可以根据有效质量的模型^[9]估算出来.

根据(1)式, 如果认为晶振的振动为理想的简谐振动, 则

收稿日期: 2008-01-08; 修改日期: 2008-03-05

基金项目: 国家基础科学人才培养基金(No. J0730310); 2007 年度复旦大学青年科学基金(No. EYH1512025)

作者简介: 俞 熹(1978-), 男, 浙江东阳人, 复旦大学物理系讲师, 博士, 从事低温扫描显微镜成像和核磁共振研究以及近代物理教学.

$$f = \frac{1}{2\pi} \sqrt{\frac{k}{m}} \quad (2)$$

对于理想的长方体晶振, 臂的等效质量 $m^* = 0.24m = 0.24\rho lwt = 250 \mu\text{g}$. 当新增加的质量 M 被放置到晶振上以后, 共振频率变化为

$$f' = \frac{1}{2\pi} \sqrt{\frac{k}{m^* + M}} \quad (3)$$

在实验中, 选取某样品进行测量, 其原共振频率 $f_0 = 32.40 \text{ kHz}$, 加载针尖后的频率 $f' = 32.37 \text{ kHz}$. 代入(3)式计算得

$$M = \frac{k}{4\pi^2} \left(\frac{1}{f'^2} - \frac{1}{f_0^2} \right) \approx 490 \text{ ng} \quad (4)$$

(4)式中有效质量为 490 ng , 而估算的黏合剂(银胶)加上针尖的总质量与之相符合.

通过有效质量法, 可以将质量的非均匀分布简单地归结为有效质量. 当频移很小时, 根据(4)式则有近似公式:

$$M = -\frac{k^2}{2\pi^2 f_0^3} \Delta f \quad (5)$$

利用(5)式, 可以方便地估算外加质量(如针尖)对晶振的本征频率的影响, 以便选择合适的针尖材料、尺寸等.

有效质量法除了 AFM 中的应用外, 利用(4)和(5)式, 还可以进行微小质量的测量. 经过适当修正, 可以给出精度较高的结果.

3 压强变化对晶振频率变化的影响

工作在不同气体与气压下的 AFM, 由于晶振本征频率的变化, 精度会受到影响.

在气体中的晶振, 振动时对气体有扰动, 因而产生晶振的能量损失, 其作用效果相当于有额外的质量分布附着在晶振表面而产生的阻尼损耗. 尽管涉及到空气的动力学过程, 但如果使用有效质量的概念, 就容易理解共振频率随压强升高而降低的关系.

图 2 给出了室温环境下(约 20°C)共振频率以及品质因数随压强的改变而变化的数据图, 并对频率与压强的关系做了线性拟合, 从图 2 可以直观地看到, 两者有较好的线性关系.

对于 AFM 的力探测来说, 一般采用的精度要求为小于 0.1 Hz . 从图 2 中可以看到, 气压变化造成的频移是有相当影响的. 因此有必要确定气压变化对频移的影响.

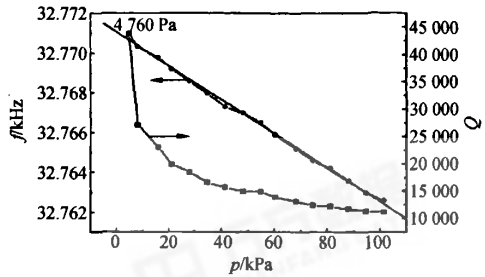


图 2 共振频率、品质因数与气压(氩气环境)的关系

为了理论计算共振频率与气压的关系, 可以先设想将晶振置于无限大的非黏性、可压缩气体中. 严格求解流体弹性体的相互作用是十分困难的, 但类比有效质量的方法, 可以引入有效杨氏模量的概念, 并认为气体的引入仅仅是改变了杨氏模量, 而不影响臂的振动方程. 计算上述理想化的流体模型中的等效杨氏模量^[10]为

$$E_t = E_v \left(1 + \frac{\pi \rho_l w}{4 \rho_c t} \right) \quad (6)$$

根据(1)式, 则引入流体后的频率与真空中的频率关系为

$$f_t = f_v \left(1 + \frac{\pi \rho_l w}{4 \rho_c t} \right)^{-1/2} \quad (7)$$

式中, f_v 是真空中的共振频率, ρ_l 是流体的密度, ρ_c, t 与 w 分别是晶振的密度、厚度与宽度.

当将晶振置于氩气、氦气等气体中时, $\rho_c \gg \rho_l$. 对于理想气体, 恒温下, 密度与气压成正比, 再使晶振的长、宽近似相等, 即 w/t 不会太大, 则可以得到如下的近似公式:

$$f_t - f_v = -f_v \frac{\pi w m_0}{8 \rho_c t R T} p \quad (8)$$

即频移正比于流体的密度. 式中 m_0 为气体摩尔质量, R 为热力学常数. 因此频移也就与压强成正比关系, 可以解释图 2 中利用氩气获得的曲线. 根据(8)式算得的比例系数为 0.072 mHz/Pa , 与实验结果 0.084 mHz/Pa 在数量级上符合.

为了考察对不同气体(8)式的符合程度, 又测量了在氦气中, 将压强从 10^5 Pa 抽至真空的过程中共振频率的变化: 在 0°C 下, 实验得到的频移为 0.5 Hz . 取氦气密度 $\rho_l = 0.1785 \text{ kg/m}^3$, 石英密度 $\rho_c = 2650 \text{ kg/m}^3$. 理论计算得频移为 0.7 Hz , 也与实验结果定性吻合, 误差的来源也应该是由

于上述论证中采用的频率变化较小的假设。

图 2 还给出了品质因数 Q 随压强的变化。由于周围气体的扰动而造成的能量损失随压强降低而减少, Q 也就得以大大提高。

再利用(8)式,可得

$$\frac{\rho_h}{\rho_a} = \frac{\Delta f_h}{\Delta f_a} \quad (9)$$

即氦气与氮气的频移之比等于密度之比,理论计算得到 2 个比值分别为 12.14 与 13.24,仍有一定偏离,也只是与理论计算定性相符。

可见根据有效杨氏模量与理想气体方程得出的(8)式,可以给出频移的大致范围,对不同的气体都可以适用,但总是会出现有限的偏差。

在常压区域,更符合实际情况的是范德瓦尔斯方程,因此在中间区,对不同气体,要选取其范氏参数分别进行修正;而在极端低压区(2 kPa 以下),虽然范德瓦尔斯方程过渡为近似理想气体,但由于气体十分稀薄,有效杨氏模量的模型会有偏差,(8)式仍然不能严格成立。事实上,气体的平均自由程反比于密度,当抽至高度真空时,平均自由程很大,导致弛豫时间大大变长,达到平衡所需的时间因此变长,非平衡效应显著加强,因此实验测得的低压区曲线实际上很不光滑。

4 结束语

在 AFM 用晶振的特性研究中,使用有效质量法简化了对针尖影响的计算,求出的频移有较好的符合程度。但有效质量法无法区别不同结构的针尖。而进一步的工作则可以采用有效质量法研究加装针尖对品质因数 Q 的影响。当 AFM 工作在气体中时,通过理论分析给出了式(8),用来描述不同气体中晶振频移的统一行为。在极端低压区,由于测量精度限制以及气体过于稀薄,会与式(8)有偏离。低压时,式(8)符合得比较好。而在常压与高压区域,更精确的是范德瓦尔斯方程,对不同的气体,需要采用不同的参数进行修正。为了适应 AFM 的不同工作模式,可以通过 Q -Control 来调整 Q ,达到最适宜的工作范围^[11-12]。

本文实验数据采集工作是在英国诺丁汉大学物理实验室中完成,特此感谢!

参考文献:

- [1] Binnig G, Quate C F, Gerber C. Atomic force microscope [J]. Phys. Rev. Lett., 1986,56:930.
- [2] King G M, Jr G N. Attractive-mode force microscope for investigations of biomolecules under ambient conditions [J]. Rev. Sci. Instr., 2001, 72: 4 261.
- [3] Giessibl F J. Atomic resolution on Si (111)-(7×7) by noncontact atomic force microscopy with a force sensor based on a quartz tuning fork [J]. Appl. Phys. Lett., 2000,76:1 470.
- [4] Zhong Q, Inniss D, Kjoller K, et al. Fractured polymer/silica fiber surface studied by tapping mode atomic force microscopy [J]. Surface Science Letters, 1993,290:688.
- [5] Gunther P, Fischer U C, Dransfeld K. Scanning near-field acoustic microscopy [J]. Appl. Phys. B, 1989,48:89.
- [6] Callaghan F D, Yu X, Mellor C J. Dynamic force microscopy in superfluid helium [J]. Appl. Phys. Lett., 2002,81:916.
- [7] Güntherodt R W H J. Scanning tunneling microscopy II [M]. 2nd Edition. New York: Springer-Verlag Berlin Heidelberg, 1995.
- [8] Chen C J. Introduction to scanning tunneling microscopy [M]. New York: Oxford University Press, 1993.
- [9] Cleveland J P, Manne S, Bocek D, et al. Nondestructive method for determining the spring constant of cantilevers for scanning force microscopy [J]. Rev. Sci. Instrum., 1993,64:403.
- [10] Chu W H. Technical report No. 2 DTMB contract No. 86396 (X) [D]. San Antonio. TX: Southwest Research Institute, 1963.
- [11] Callaghan F D, Yu X, Mellor C J. Variable temperature magnetic force microscopy with piezoelectric quartz tuning forks as probes optimized using Q-control [J]. Appl. Phys. Lett., 2005,87(21): 214 106.
- [12] Yu Xi. Multi-mode low temperature scanning probe microscopy [D]. Nottingham: University of Nottingham, 2004.

Studying quartz tuning forks by effective mass

YU Xi, XU Wen-yi

(Department of Physics, Fudan University, Shanghai 200433, China)

Abstract: It is well established that quartz tuning forks can be used as sensors for acoustic and force microscopy. These self-oscillating high mechanical quality factor sensors provide a good method of detecting sub-pN forces especially at low temperature. This paper introduces the conceptions of effective mass and effective Yang module to simplify the calculation of the resonance frequency. Furthermore, a simplified model based on some theoretical analysis is set up to explain most of the experimental results and provide us another image of how the quartz tuning fork works.

Key words: quartz tuning forks; scanning probe microscopy; atomic force microscopy; effective mass; effective Yang module [责任编辑:任德香]

(上接第 33 页)

Observations of the relative intensity of the Zeeman effect of Hg and measurement of the Landé g -factor

CHEN Xing¹, LUO Hui², ZHAO Bo²

(1. Department of Physics, Zhejiang University, Hangzhou 310027, China;

2. Chu Kochen Honers College, Zhejiang University, Hangzhou 310058, China)

Abstract: The Zeeman splitting of Hg in the magnetic field is measured by the pressure scanning Fabry-Perot etalon. The spectrum lines of Zeeman splitting of 404.66 nm, 435.83 nm, 546.07 nm and 579.07 nm are observed. The relative intensity of every spectrum lines are measured and the Landé g -factors are obtained.

Key words: Zeeman splitting; relative intensity; Landé g -factor [责任编辑:郭 伟]



北京欧普特科技有限公司

光学元件库—欧普特科技

www.goldway.com.cn

北京欧普特科技有限公司严格参照国际通用规格及技术指标,备有完整系列的精密光学零部件(备有产品样本供参考)供国内各大院校、科研机构、实验室随时选用,我公司同时可为您的应用提供技术咨询。我公司可以提供美国及欧洲产的优质红外光学材料,如碲化锌、硫化锌、多光谱硫化锌等。



- 光学透镜:平凸、双凸、平凹、双凹、消色差胶合透镜等。
- 光学棱镜:各种规格直角棱镜及其它常用棱镜。
- 光学反射镜:各种尺寸规格的镀铝、镀银、镀金及介质反射镜,直径 5~200 mm。
- 光学窗口:各种尺寸规格、材料的光学平面窗口、平晶,直径 5~200 mm。
- 各种有色玻璃滤光片:直径 5~200 mm (紫外、可见、红外)及窄带干涉滤片。
- 紫外石英光纤:进口紫外石英光纤,SMA 接口光纤探头,紫外石英聚焦探头。

地址:北京市海淀区知春路 49 号希格玛大厦 B 座 # 306 室 邮编:100080 联系人:陈镛先生,施楠小姐,曾安小姐
 电话:010-88096218/88096217 传真:010-88096216 网址:www.goldway.com.cn
 E-mail: kevinchen@goldway.com.cn; shinan@goldway.com.cn; zengan@goldway.com.cn

用有效质量法研究晶振特性

作者: [俞熹](#), [许文仪](#), [YU Xi](#), [XU Wen-yi](#)
作者单位: [复旦大学, 物理系, 上海, 200433](#)
刊名: [物理实验](#) **PKU**
英文刊名: [PHYSICS EXPERIMENTATION](#)
年, 卷(期): 2008, 28(8)
引用次数: 0次

参考文献(12条)

1. [Binnig G, Quate C F, Gerber C Atomic force microscope](#) 1986
2. [King G M, Jr G N Attractive-mode force microscope for investigations of biomolecules under ambient conditions](#) 2001
3. [Giessibl F J Atomic resolution on Si \(111\)-\(7×7\) by noncontact atomic force microscopy with a force sensor based on a quartz tuning fork](#) 2000
4. [Zhong Q, Inniss D, Kjoller K Fractured polymer/silica fiber surface studied by tapping mode atomic force microscopy](#) 1993
5. [Gunther P, Fischer U C, Dransfeld K Scanning near-field acoustic microscopy](#) 1989
6. [Callaghan F D, Yu X, Mellor C J Dynamic force microscopy in superfluid helium](#) 2002
7. [Gntherodt R W H J Scanning tunneling microscopy II](#) 1995
8. [Chen C J Introduction to scanning tunneling microscopy](#) 1993
9. [Cleveland J P, Manne S, Bocek D Nondestructive method for determining the spring constant of cantilevers for scanning force microscopy](#) 1993
10. [Chu W H DTMB contract No. 86396 \(X\) \[Technical report No. 2\]](#) 1963
11. [Callaghan F D, Yu X, Mellor C J Variable temperature magnetic force microscopy with piezoelectric quartz tuning forks as probes optimized using Q-control](#) 2005(21)
12. [Yu Xi Multi-mode low temperature scanning probe microscopy](#) 2004

本文链接: http://d.g.wanfangdata.com.cn/Periodical_wlsy200808010.aspx

下载时间: 2009年12月9日